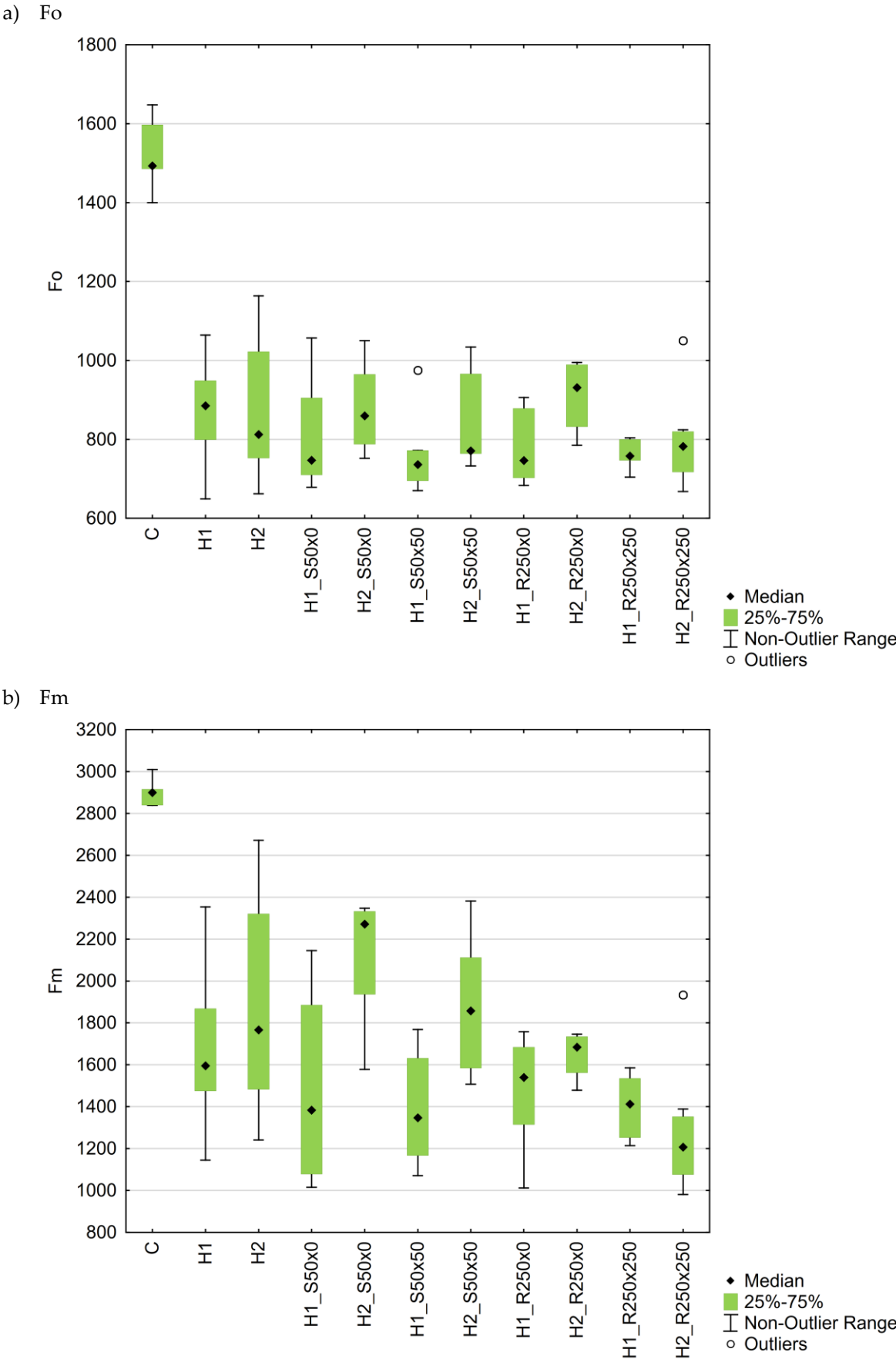
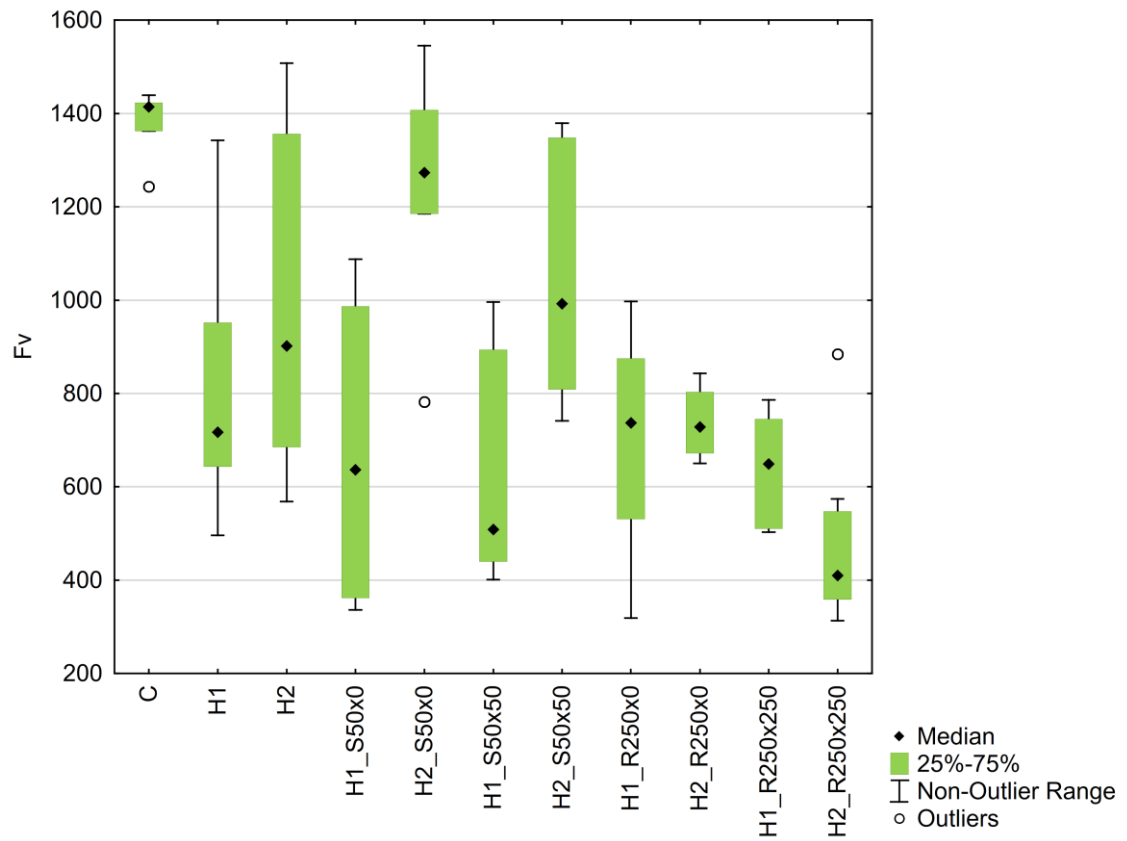


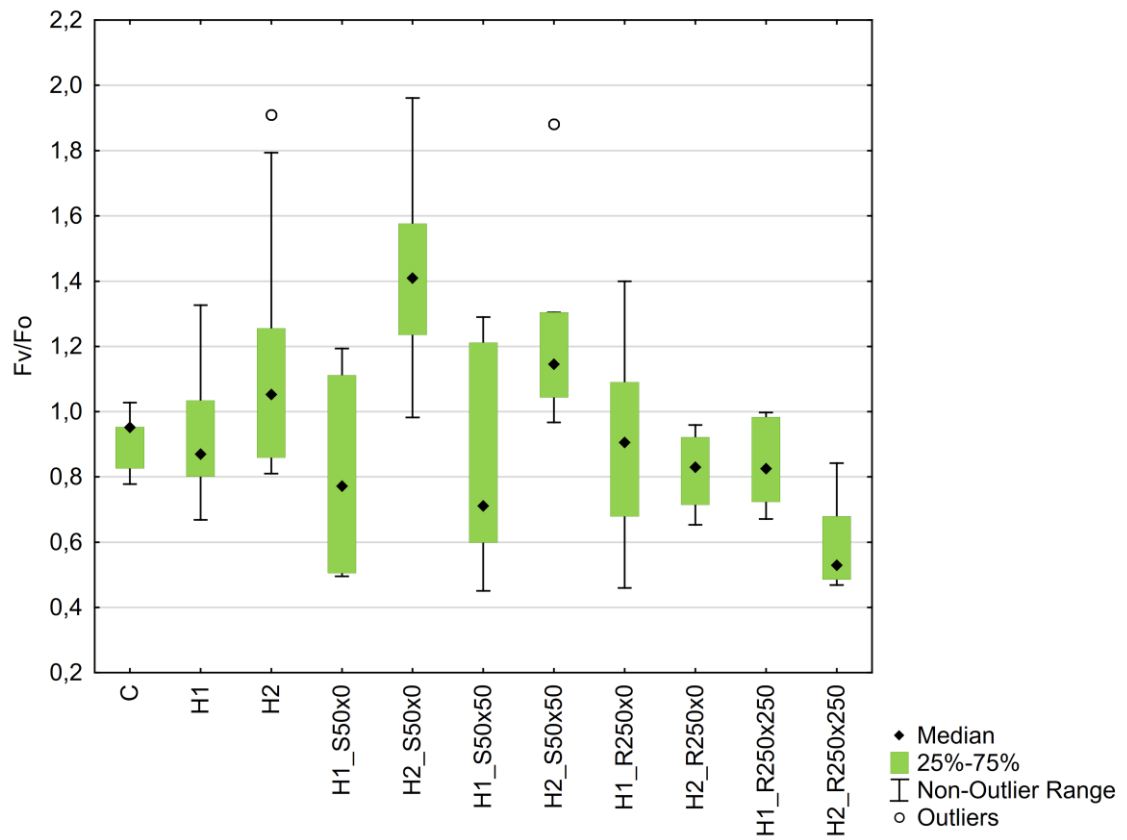
Figure S2. Boxplots of fluorescence indexes



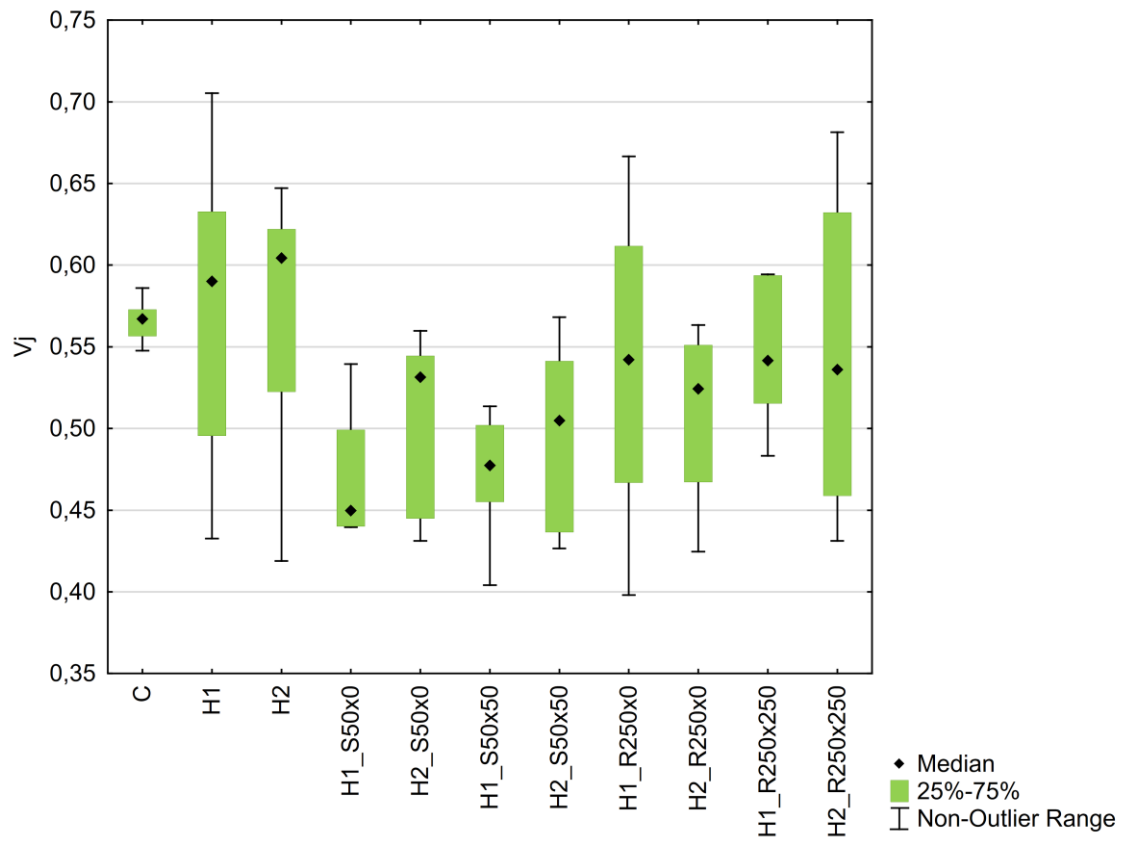
c) Fv



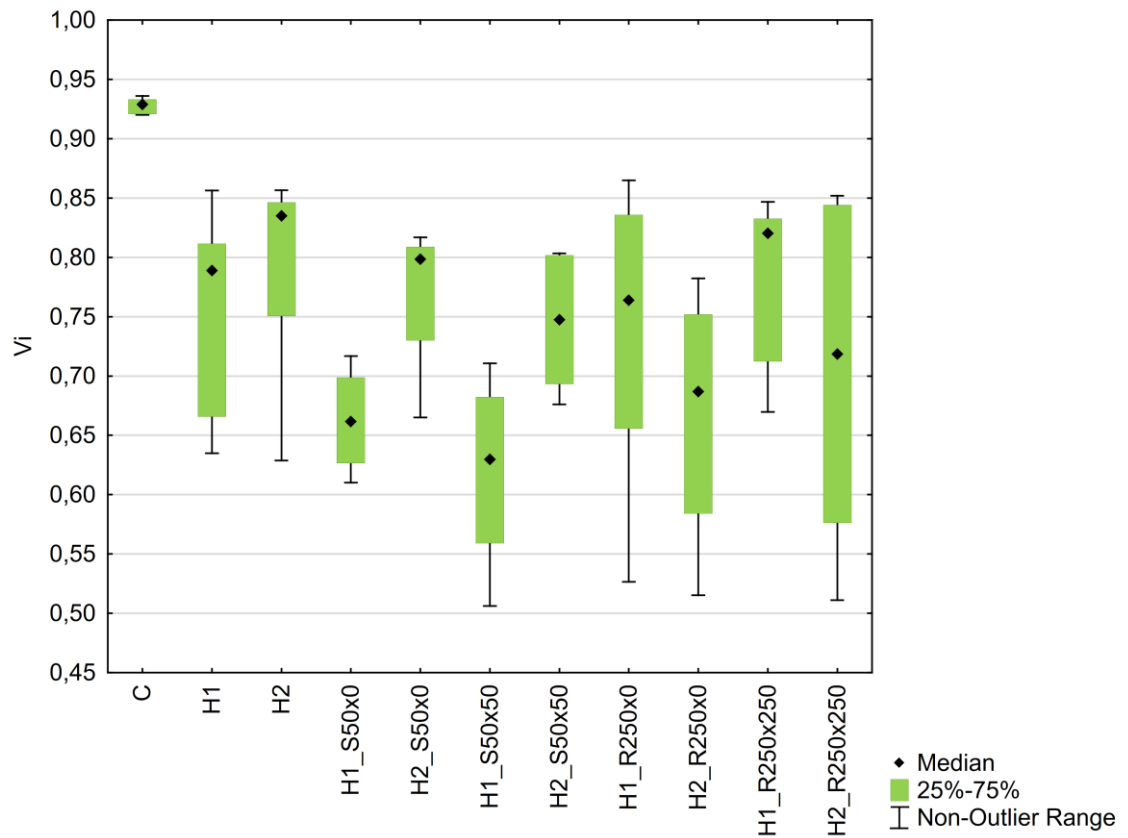
d) Fv/Fo



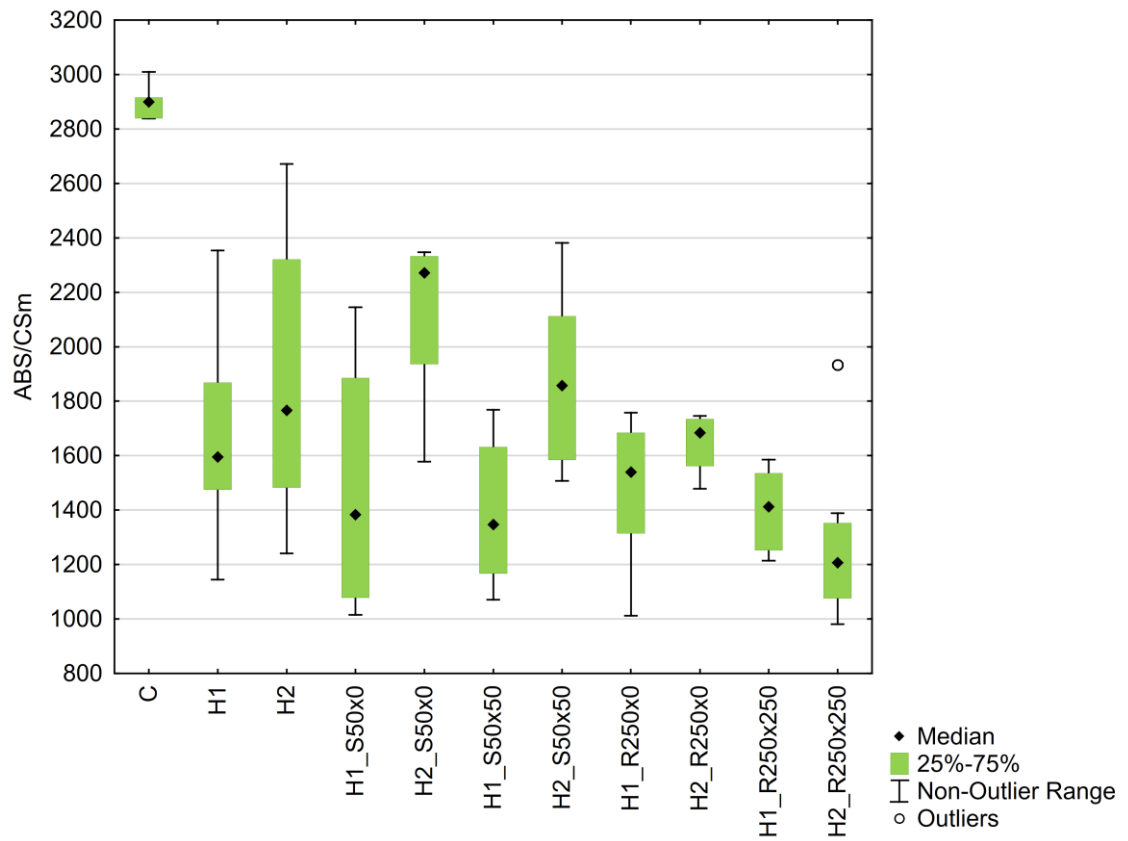
e) V_j



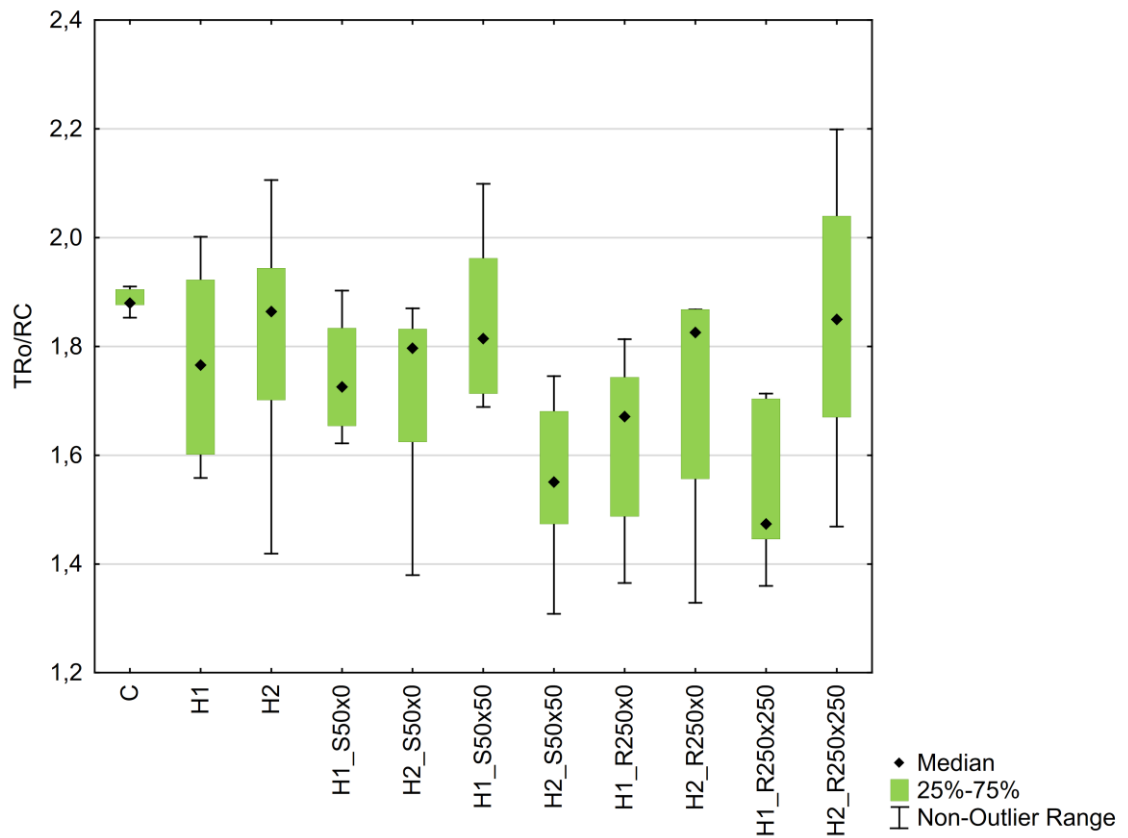
f) V_i



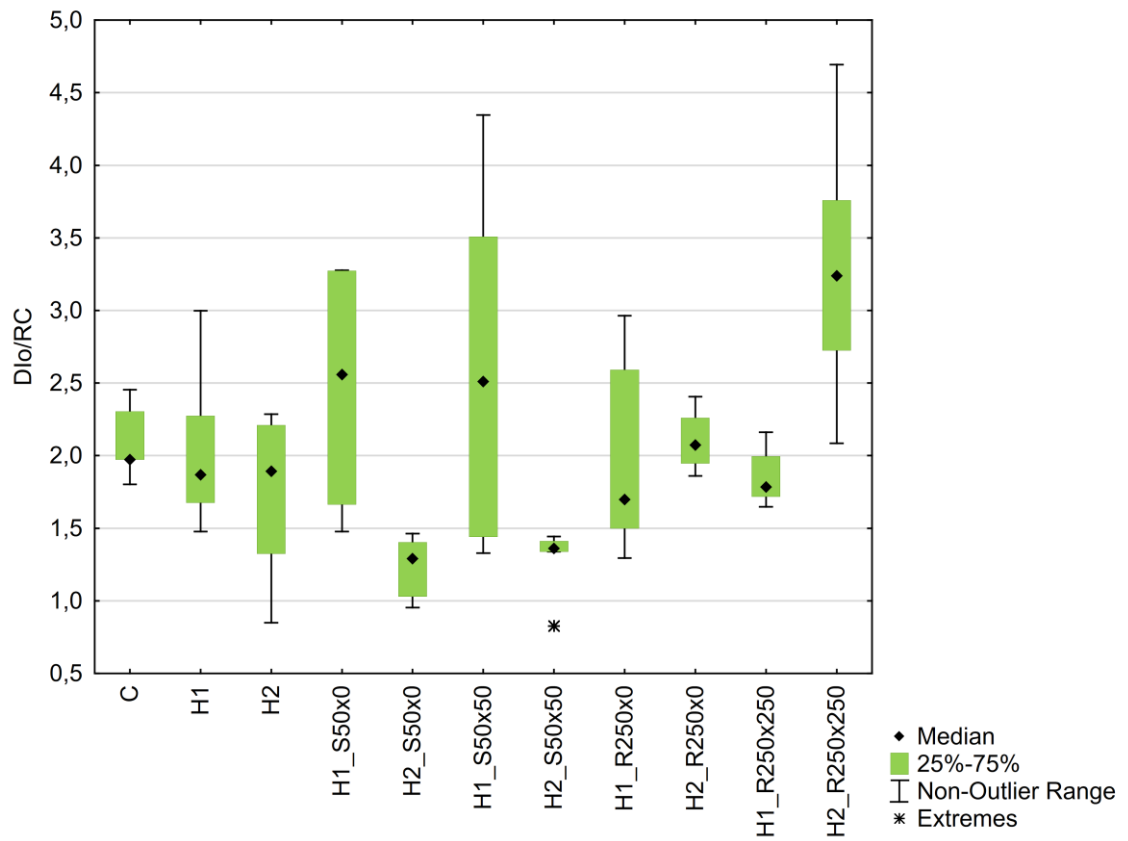
g) ABS/CSm



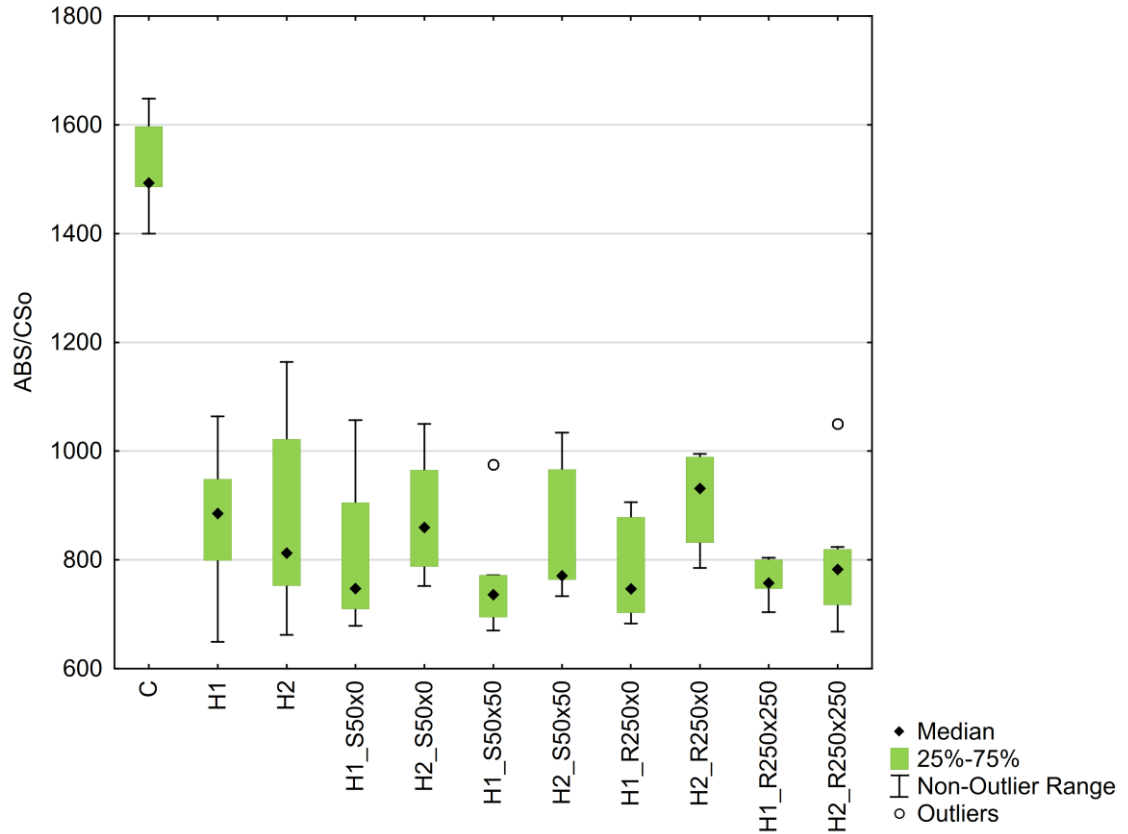
h) TRo/RC



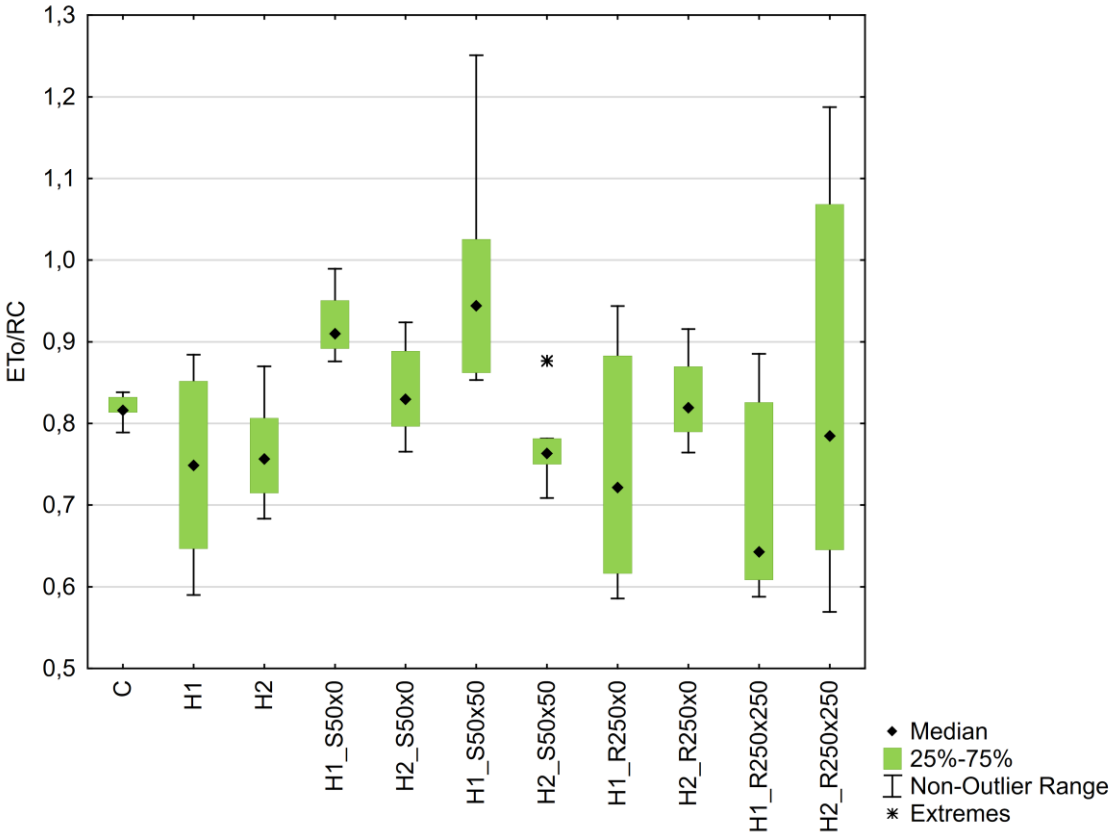
i) D_{Io}/RC



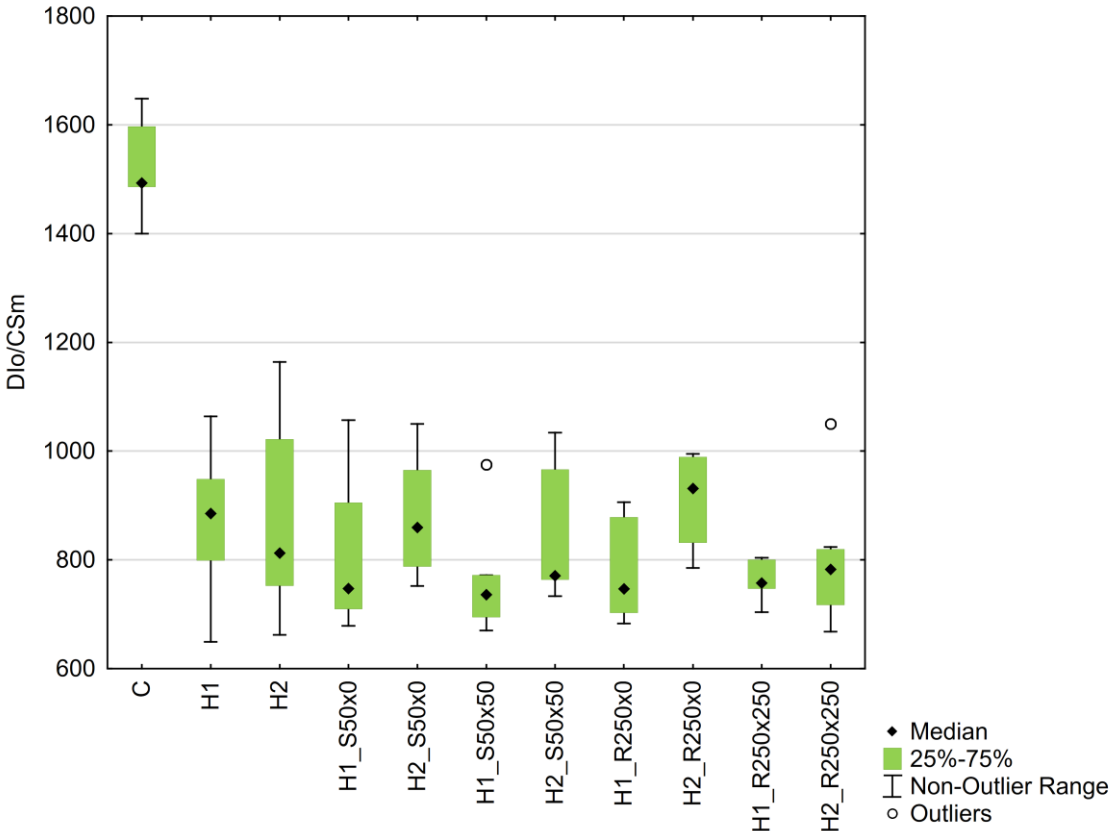
j) ABS/CS_o



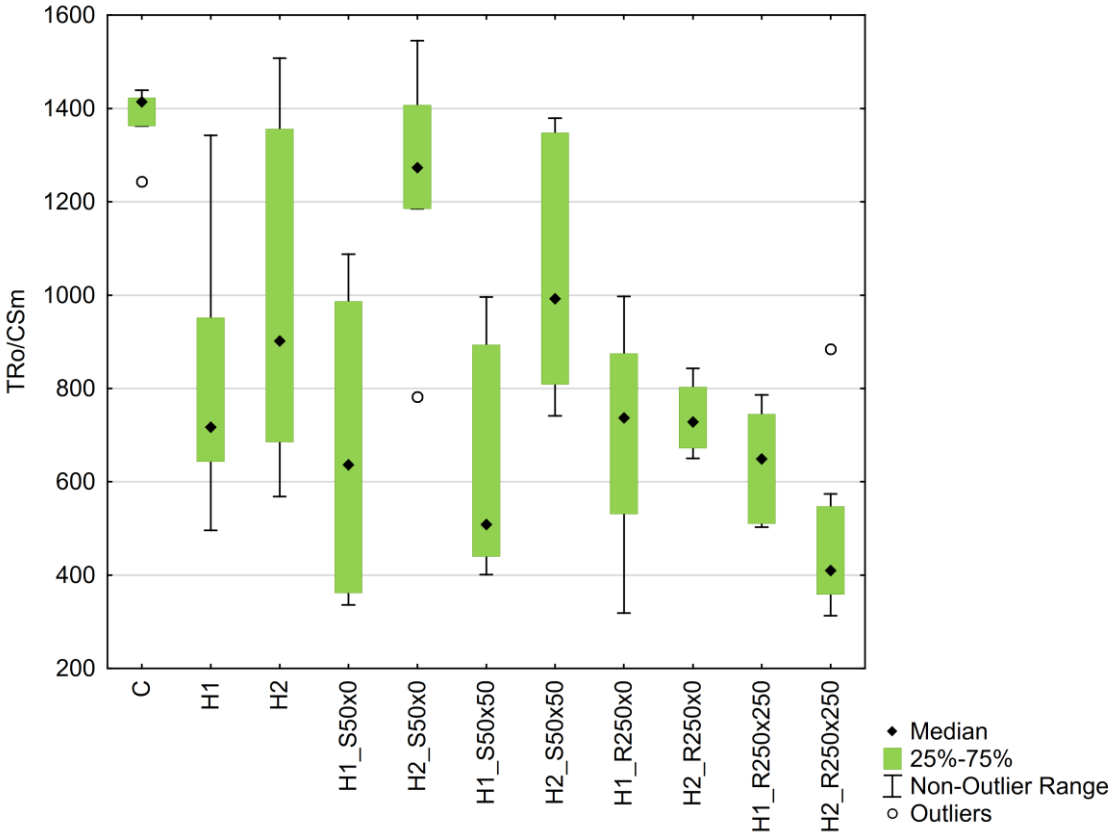
k) ET_o/RC



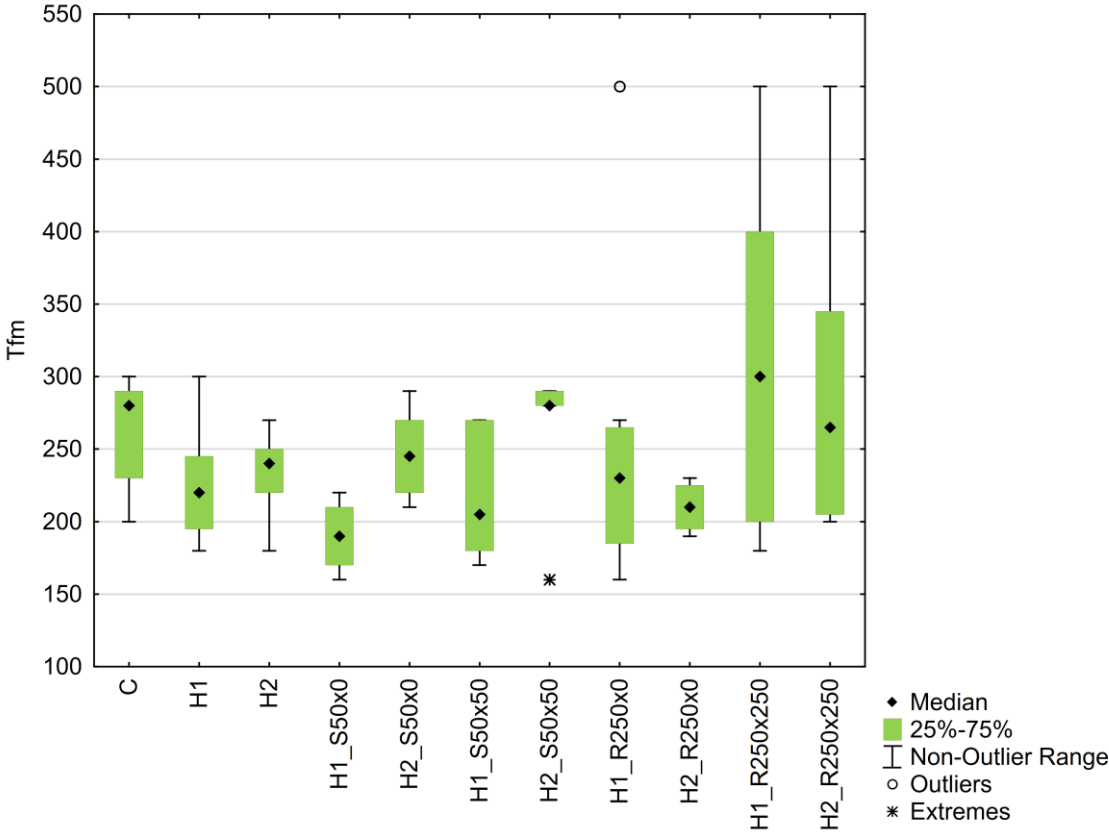
l) DI_o/CS_m



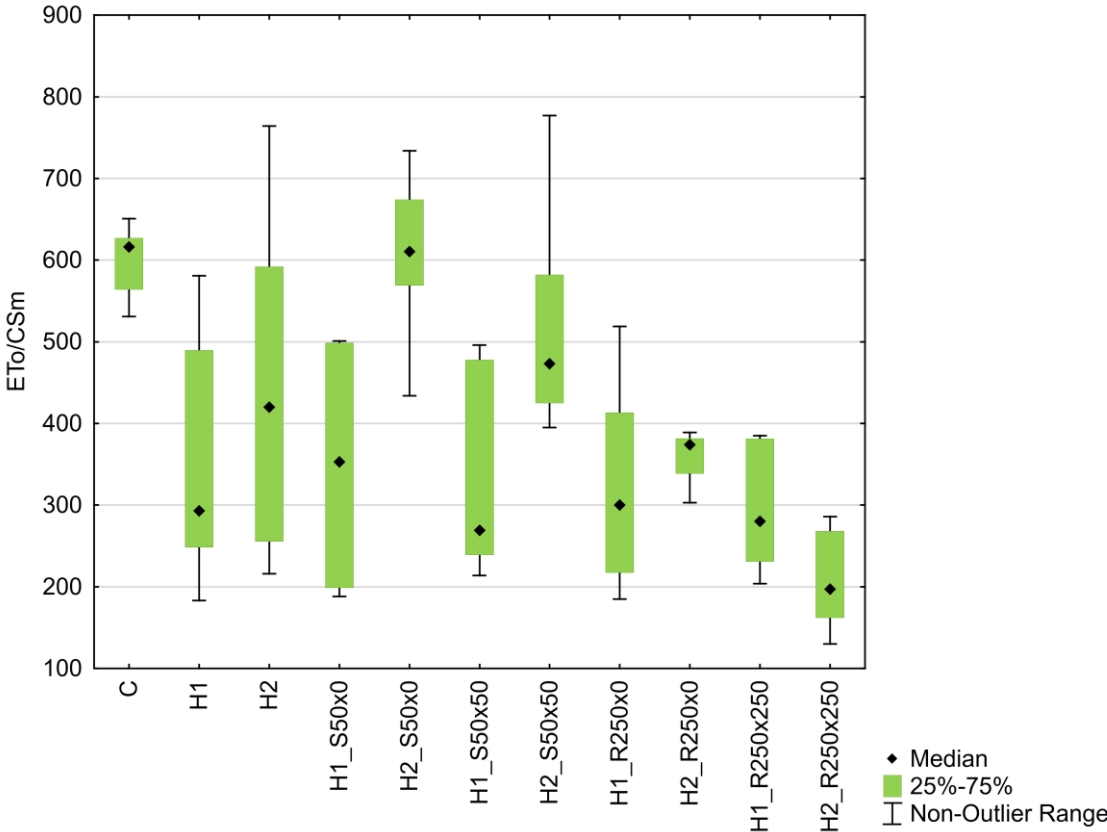
m) TRo/CSm



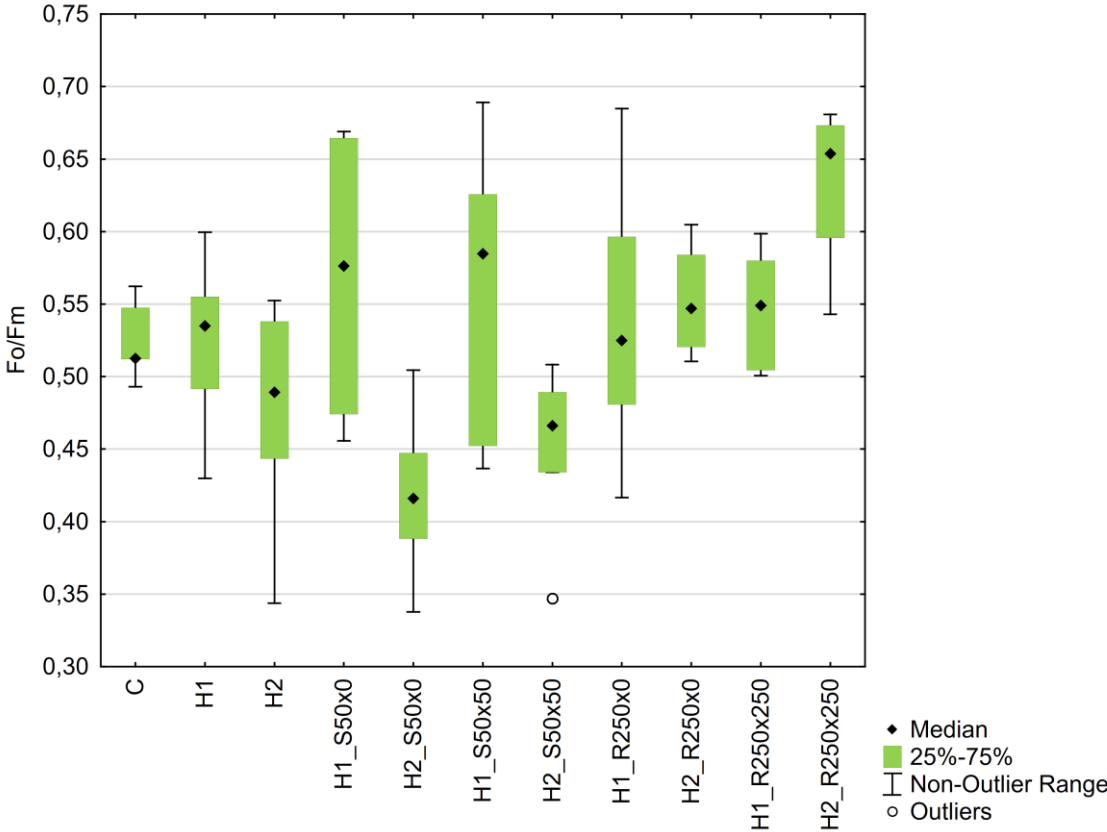
n) Tfm



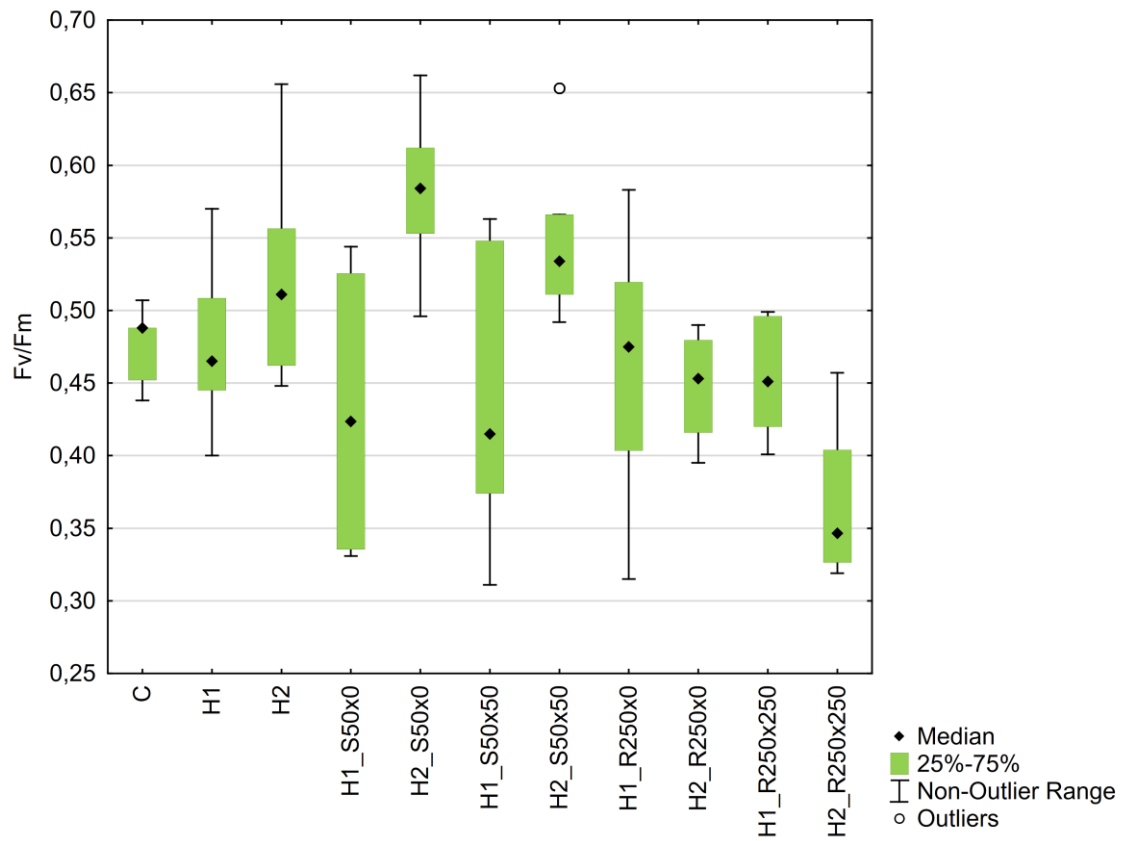
o) ETo/CSm



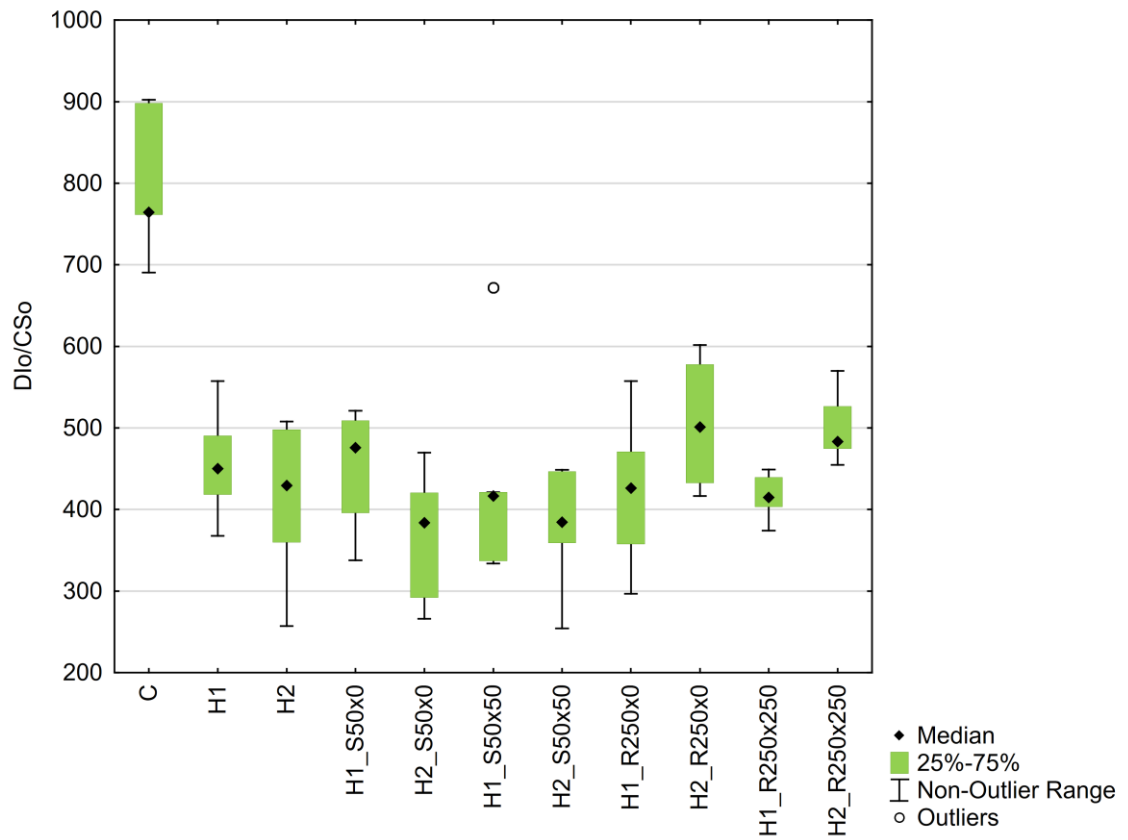
p) Fo/Fm



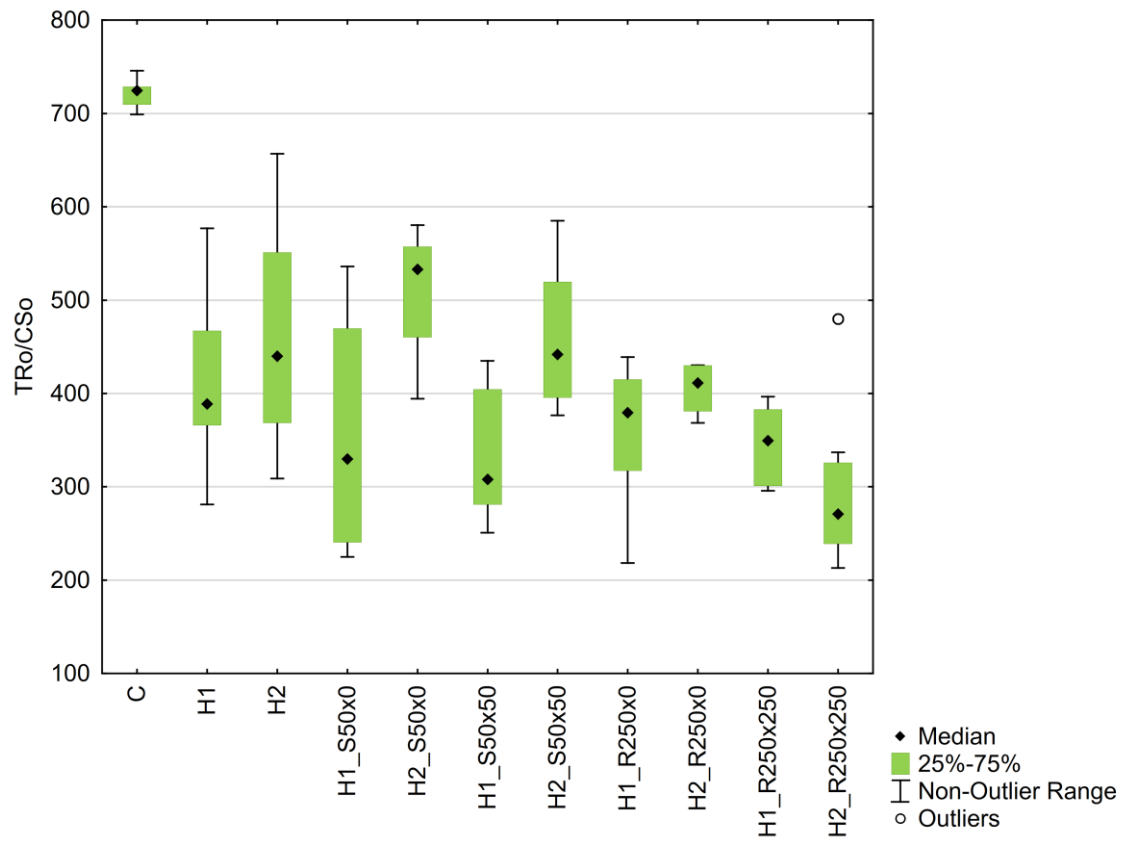
q) Fv/Fm



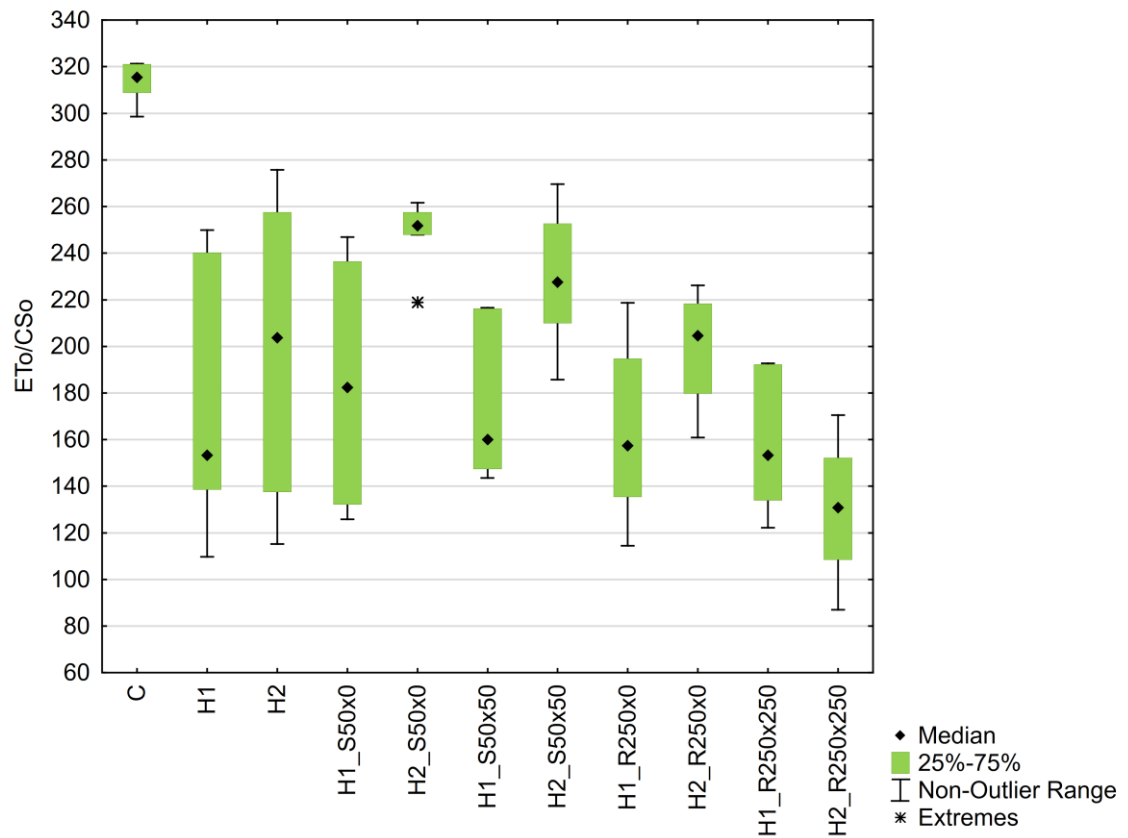
r) Dlo/CSO



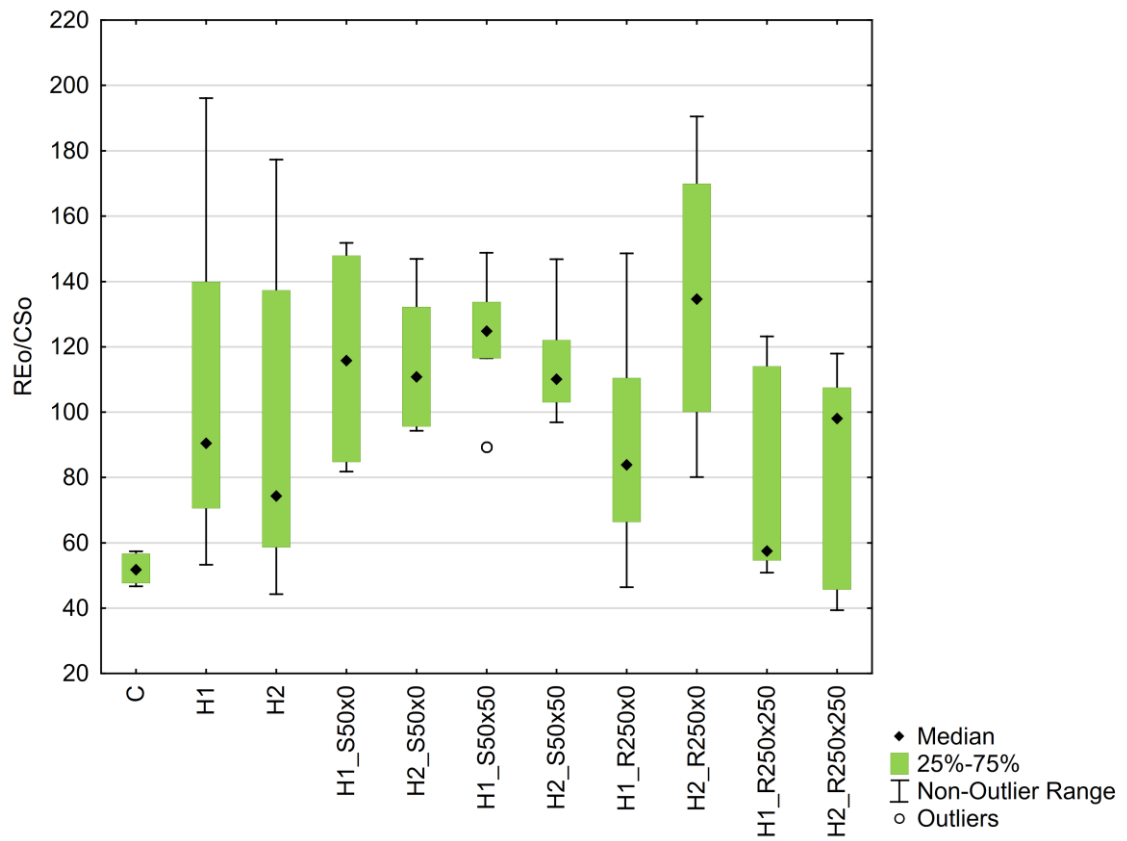
s) TRo/CSo



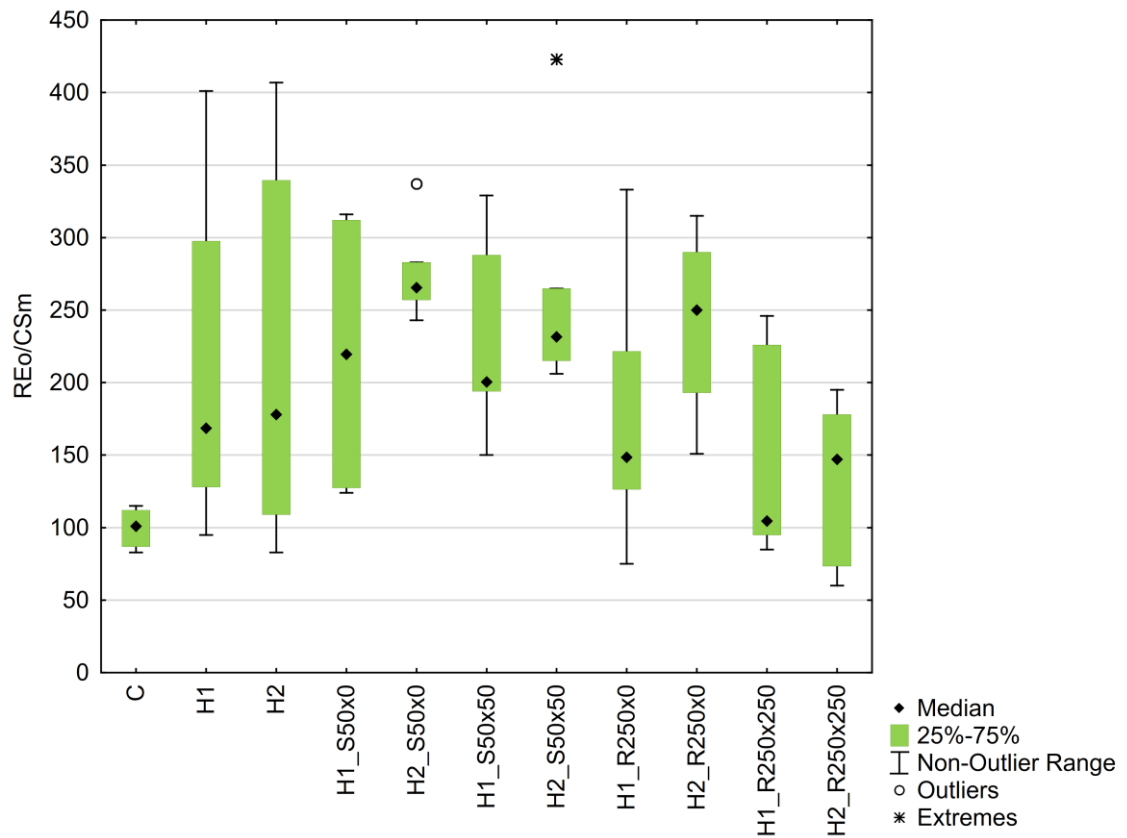
t) ETto/CSo



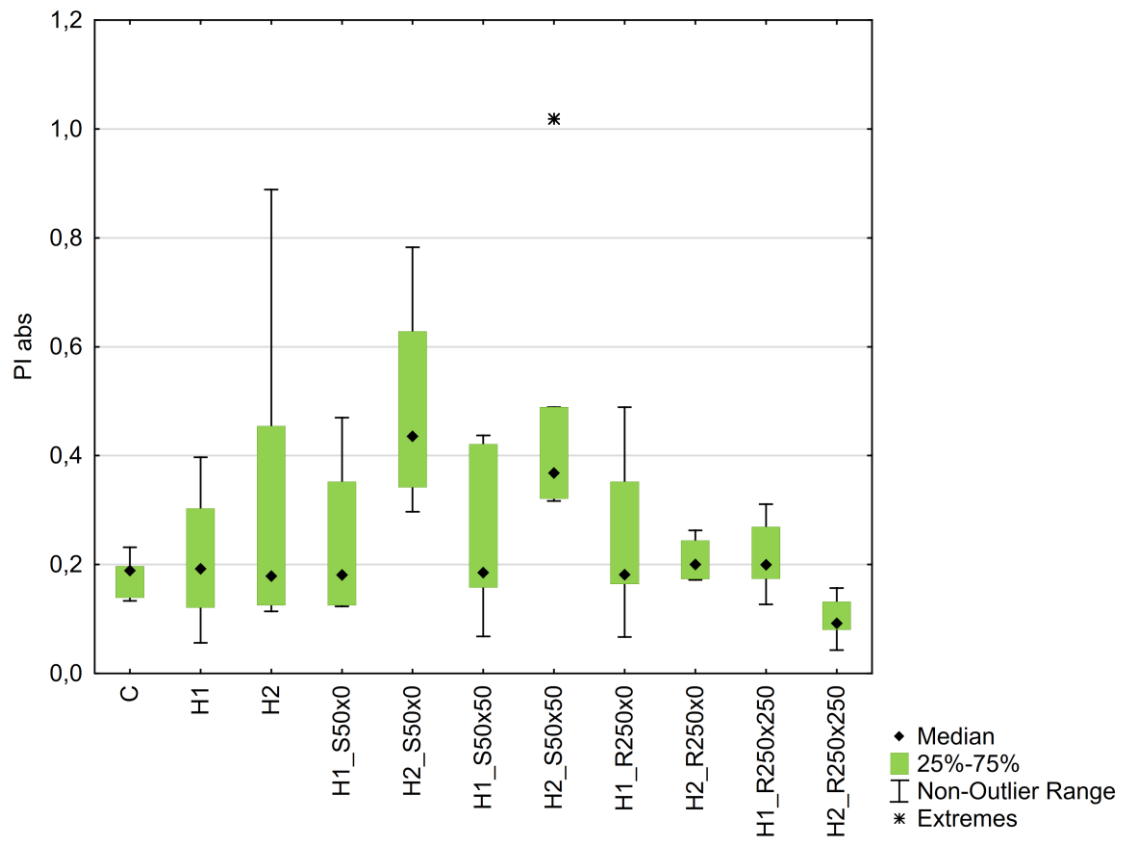
u) REo/CSo



v) REo/CSm



w) PI abs



x) REo/RC

